

ОСОБЕННОСТИ КРИСТАЛЛИЧЕСКОЙ СТРУКТУРЫ И НАМАГНИЧЕННОСТИ МОНОКРИСТАЛЛА $\text{Co}_3\text{B}_2\text{O}_6$

Н. В. Казак^a, М. С. Платунов^{a}, Н. Б. Иванова^b, Ю. В. Князев^a,
Л. Н. Безматерных^a, Е. В. Еремин^a, А. Д. Васильев^{a,b}, О. А. Баюков^a,
С. Г. Овчинников^{a,b,c}, Д. А. Великанов^a, Я. В. Зубавичус^d*

^a Институт физики им. Л. В. Киренского Сибирского отделения Российской академии наук
660036, Красноярск, Россия

^b Сибирский федеральный университет
660074, Красноярск, Россия

^c Красноярский государственный аэрокосмический университет
660014, Красноярск, Россия

^d Национальный исследовательский центр «Курчатовский институт»
123182, Москва, Россия

Поступила в редакцию 27 июля 2012 г.

Проведены исследования кристаллической структуры и магнитных свойств монокристаллов $\text{Co}_3\text{B}_2\text{O}_6$. При комнатной температуре обнаружена ромбическая симметрия с пространственной группой $Pnnm$. Измерения статической намагниченности и динамической магнитной восприимчивости выявили две магнитные аномалии при $T_1 = 33$ К, $T_2 = 10$ К и магнитную анизотропию типа «легкая ось». Величина эффективного магнитного момента указывает на высокоспиновое магнитное состояние иона Co^{2+} . При низких температурах обнаружен спин-флоп-переход при $H_{sf} = 23$ кЭ. Получены спектры EXAFS на K -крае поглощения Со при различных температурах, проанализированы температурные изменения параметров локального окружения кобальта, определены эффективные расстояния Со–Со и Со–О. Проведен анализ магнитных взаимодействий с использованием модели косвенной связи.

DOI: 10.7868/S0044451013070122

1. ВВЕДЕНИЕ

Оксидораты переходных металлов на протяжении многих лет вызывают большой интерес в силу уникального сочетания магнитных, оптических, магнитоупругих, магнитооптических и резонансных свойств. В последнее время интерес к данным материалам также связан с поиском новых мультиферроиков. Так, в ряде боратов $\text{ReFe}_3(\text{BO}_3)_4$ (Re – редкоземельный металл) недавно было обнаружено сегнетоэлектрическое упорядочение, совпадающее со спин-ориентационным переходом [1, 2]. Другое направление исследований связано с эффектами взаимосвязи зарядовых, спиновых и орбитальных

степеней свободы под действием высоких давлений. Недавние исследования магнитных оксидоратов M^{3+}BO_3 ($\text{M}^{3+} = \text{Fe}, \text{V}$) выявили резкий сдвиг края оптического поглощения, сопровождающийся коллапсом магнитного момента иона Fe^{3+} [3, 4].

Кристаллы синтетических боратов обладают целым рядом перспективных физических свойств и рассматриваются как потенциальные объекты для практического применения в качестве магнитоуправляемых акустических фильтров, детекторов ионизирующего излучения, генераторов, частотных преобразователей и т. д. [5, 6].

Несмотря на многообразие, эти соединения характеризуются рядом общих свойств: низкой симметрией кристаллической решетки (в основном моноклинной или ромбической); сложным содержанием элементарной ячейки, наличием как сугубо кова-

*E-mail: platunov@iph.krasn.ru

лентных химических связей внутри борокислородных анионных групп, так и сравнительно слабых ионных связей между катионом и соответствующей анионной группой. Последнее обстоятельство способствует локализации носителей и диэлектрическому основному состоянию.

Наличие неэквивалентных кристаллографических позиций и различная вероятность их заполнения металлическими ионами одного (M) или разного (M, M') сорта позволяют наблюдать магнитное поведение разного типа: от дальнего магнитного порядка в гомометаллических оксиборатах ($M = M'$) [7–9] до состояния спинового стекла в гетерометаллических соединениях ($M \neq M'$) [10, 11].

Ортобораты с химической формулой $M_{3-x}M'_xB_2O_6$ ($M, M' = Co, Mn, Ni, Mg, Cu, Cd$) обладают ромбической (пространственная группа $Pnnm$), триклиновой ($P\bar{1}(2)$) или моноклинной ($P2_1/c$) сингонией (табл. 1). Ромбические бораты $M_3B_2O_6$ изоструктурны минералу котоиту (kotoite). Известны четыре гомометаллических ($M = M'$) котоита: $Co_3B_2O_6$, $Ni_3B_2O_6$, $Mn_3B_2O_6$, $Mg_3B_2O_6$ [12–16]. В литературе имеется крайне скучная информация о свойствах данных материалов, где затронуты, в основном, кристаллохимические аспекты. В работе [14] проведено исследование кристаллической структуры монокристаллов котоитов с $M = M' = Mg, Co, Ni$. В работе определены координаты атомов, межатомные расстояния, а также параметры изотропного и анизотропного смещений атомов Mg, Co, Ni, B, O . Недавно в работах [17, 18] было доложено о синтезе и исследовании структуры замещенных котоитов на основе кобальта $Co_{3-x}Ni_xB_2O_6$. Обнаружено, что до уровня замещения $x = 2.0$ образуется ромбическая фаза, изоструктурная $Co_3B_2O_6$. Из табл. 1 следует, что изменение параметров решетки в ряде ромбических котоитов коррелирует с ростом ионного радиуса двухвалентного иона. В случае $M^{2+} = Cu$ происходит понижение симметрии до триклиновой [19, 20]. Частичное замещение ионов Cu^{2+} ионами $M'^{2+} = Co, Ni, Cd$ вызывает переход в моноклинную фазу [21–24].

Магнитные исследования гомометаллических $Co_3B_2O_6$, $Ni_3B_2O_6$, $Mn_3B_2O_6$ показали, что эти материалы испытывают переход в антиферромагнитное состояние с установлением дальнего магнитного порядка (табл. 2) [13]. Величины эффективного магнитного момента имеют значения, типичные для двухвалентных ионов Co, Ni, Mn . Магнитная структура $Co_3B_2O_6$ и $Ni_3B_2O_6$ была изучена в работах [13, 25] при температурах выше

и ниже магнитного перехода с использованием нейтронной дифракции. Низкотемпературная модель предполагает существование магнитной сверхячейки $2a \times b \times 2c^*$, которая в четыре раза больше кристаллографической. Авторы предполагают наличие спиновой конфигурации, согласно которой магнитные моменты ионов кобальта, упорядоченные ферромагнитно вдоль оси b , направлены перпендикулярно оси a .

Магнитные исследования медных оксиборатов $Cu_{3-x}M'_xB_2O_6$ ($M' = Co, Ni, Cd; x = 0.0, 1.0$) более многочисленны. Комплексное изучение магнитных, калорических и резонансных свойств, а также измерения рассеяния нейтронов и спиновой релаксации показали, что в $Cu_3B_2O_6$ реализуется сложная магнитная структура, включающая в себя как одиночно взаимодействующие спины (синглетная фаза), так и кластеры из нескольких спинов (магнитоупорядоченная фаза). При температурах ниже 10 K происходит переход в состояние, которое является суперпозицией этих двух фаз [20, 26]. Интересно, что изоструктурные $Cu_2CoB_2O_6$ и $Cu_2NiB_2O_6$ демонстрируют совершенно разное магнитное поведение. Первый проявляет свойства фрустрированной магнитной системы и испытывает переход в состояние спинового стекла ($T_{sf} = 5$ K), в то время как второй показывает свойства магнитоупорядоченной системы ниже $T_N = 15$ K. Такое различие в свойствах объясняется сильной конкуренцией обменных взаимодействий внутри и между магнитными полосами, сформированными шестью рядами магнитных ионов $Cu-Co(Ni)-Cu-Cu-Co(Ni)-Cu$. Высокая чувствительность магнитной системы к типу магнитного иона и его пространственному расположению внутри полосы приводит к установлению неустойчивого баланса магнитных связей.

Ранее нами были подробно изучены кристаллическая структура, магнитные и транспортные свойства оксиборатов со структурой людвигита на основе кобальта: Co_3BO_5 и $Co_{3-x}Fe_xBO_5$. Измерения намагниченности, проведенные в разных кристаллографических направлениях, позволили обнаружить сильную магнитную кристаллографическую анизотропию типа «легкая ось» и экстраординарный рост коэрцитивного поля при введении железа в монокобальтовый людвигит [27–29]. В людвигитах переходные ионы Co и Fe обладают двух- и трехвалентной степенями окисления и занимают четыре неэквивалентные кристаллографические позиции. В отличие от них, в котоите $Co_3B_2O_6$ ионы кобальта находятся только в двухвалентном состоянии (Co^{2+}) и занимают две кристаллографически неэквивалентные

Таблица 1. Параметры кристаллической решетки оксиборатов $M_3B_2O_6$

		$a, \text{\AA}$	$b, \text{\AA}$	$c, \text{\AA}$	α, β, γ	$V, \text{\AA}^3$
$Ni_3B_2O_6$	Монокристаллы [12, 14]	$Pnmm$ 4.459	5.396	8.297	—	199.63
	Поликристаллы [13]	4.490	5.395	8.391	—	
$Mg_3B_2O_6$	Монокристаллы [14, 15]	$Pnmm$ 4.497	5.398	8.416	—	204.29
$Co_3B_2O_6$	Поликристаллы [13]	$Pnmm$ 4.529	5.462	8.436	—	208.68
	Монокристаллы [14, 15]					
$Mn_3B_2O_6$	Поликристаллы [13]	$Pnmm$ 4.648	5.675	8.695	—	229.35
	[16]	4.646	5.658	8.740	—	
$Co_2NiB_2O_6$	Поликристаллы [17]	$Pnmm$ 4.504	5.444	8.404	—	206.06
$CoNi_2B_2O_6$	Поликристаллы [18]	$Pnmm$ 4.478	5.419	8.352	—	202.67
$Cu_3B_2O_6$	Монокристаллы [19, 20]	$P\bar{1}(2)$ 3.344	19.757	19.587	$\alpha = 88.91^\circ$ $\beta = 70.05^\circ$ $\gamma = 69.93^\circ$	1135.46
$Cu_2CoB_2O_6$	Поликристаллы [21]	$P2_1/c$ 3.225	14.849	9.114	$\beta = 93.69^\circ$	435.55
	Монокристаллы [22]					
$Cu_2NiB_2O_6$	Поликристаллы [23]	$P2_1/c$ 3.205	14.838	9.064	$\beta = 93.77^\circ$	430.11
$Cu_2CdB_2O_6$	Поликристаллы [24]	$P2_1/c$ 3.419	15.137	9.31	$\beta = 93.05^\circ$	481.14

Примечание. Для удобства восприятия и единства обозначений мы переобозначили параметры решетки a^* , b^* , c^* для ромбической фазы, найденные в литературе ($a \rightarrow b^*$, $b \rightarrow c^*$, $c \rightarrow a^*$).

Таблица 2. Магнитные параметры котоитов $M_3B_2O_6$: T_{ord} — температура магнитного перехода T_N или T_{sg} , Θ — парамагнитная температура Кюри, μ_{eff} — эффективный магнитный момент, приходящийся на один ион

		T_{ord}, K	Θ, K	$\mu_{eff}, \mu_B/\text{ion}$
$Ni_3B_2O_6$	Поликристаллы [13]	49	-5	3.07
$Co_3B_2O_6$	Поликристаллы [13]	30	-63	5.29
$Mn_3B_2O_6$	Поликристаллы [13]	3	-185	6.18
$Cu_3B_2O_6$	Монокристаллы [19]	9.8	-422	1.05–1.54
$Cu_2CoB_2O_6$	Поликристаллы [21]	5	-65.7	5.83
$Cu_2NiB_2O_6$	Поликристаллы [23]	15	-36.8	3.44
$Cu_2CdB_2O_6$	Поликристаллы [24]	9.8	-47.4	—

позиции, что сильно упрощает интерпретацию магнитных данных.

Следует заметить, что подавляющая часть проведенных ранее магнитных исследований выполнена на поликристаллических образцах (см. табл. 2). Отсутствие магнитных измерений с использованием монокристаллов оставляет сомнения в изотроп-

ности магнитных параметров и температур переходов, с учетом сильно анизотропных свойств родственных людвигитов. В связи с этим, данная работа посвящена изучению магнитных свойств и исследованию магнитной анизотропии в монокристаллическом $Co_3B_2O_6$.

Сложный сценарий магнитного поведения окси-

боратов в значительной мере зависит от конфигурации локальных межкационных взаимодействий, которые, в свою очередь, выступают как следствие локальной атомной структуры. Проблема связи макроструктуры твердотельных оксидных материалов с интегральными физическими свойствами в целом представляет собой одну из фундаментальных проблем физики конденсированного состояния. В качестве метода, позволяющего получить необходимую информацию о локальном атомном окружении, выступает основанная на синхротронном излучении рентгеновская спектроскопия поглощения. Этот метод имеет достаточную чувствительность, чтобы исследовать изменения локальной структуры на микроуровне при различных внешних воздействиях [30]. Две части спектра рентгеновского поглощения — ближняя тонкая (XANES) и протяженная тонкая (EXAFS) — структуры рентгеновского поглощения дают взаимодополняющую информацию. Метод EXAFS позволяет получить информацию о межатомных расстояниях, дать оценку координационным числам и определить тип лигандов [31]. В то же время XANES содержит информацию об электронном состоянии поглощающего атома: его валентности, плотности электронных состояний, полной геометрии окружения (включая углы связи) [32].

Несколько нам известно, экспериментальные исследования оксиборатов переходных металлов методами XANES- и EXAFS-спектроскопии к настоящему моменту времени еще не проводились. Также не существует теоретических и экспериментальных работ, посвященных изучению локальной атомной структуры данных материалов и ее эволюции в зависимости от внешних воздействий. Поэтому исследования локальной атомной структуры монокристалла $\text{Co}_3\text{B}_2\text{O}_6$ выше и ниже температуры магнитного перехода представляют несомненный интерес.

2. СИНТЕЗ МОНОКРИСТАЛЛОВ И РЕНТГЕНОВСКАЯ ДИФРАКЦИЯ

Монокристаллические образцы котоита $\text{Co}_3\text{B}_2\text{O}_6$ были получены методом спонтанной кристаллизации из раствора-расплава 55 массовых процентов ($\text{Bi}_2\text{Mo}_3\text{O}_{12} + 2.1 \cdot \text{B}_2\text{O}_3 + 0.7 \cdot \text{Li}_2\text{O}$) и 45 массовых процентов $\text{Co}_3\text{B}_2\text{O}_6$, приготовленного в платиновом тигле. После четырехчасовой гомогенизации при $T = 1100^\circ\text{C}$ раствор-расплав быстро охлаждался до $T = 980^\circ\text{C}$, и далее температура понижалась со скоростью $4^\circ\text{C}/\text{сут}$. Процесс роста кристаллов длился примерно трое суток. Полученные образцы

Таблица 3. Данные рентгеновской дифракции для $\text{Co}_3\text{B}_2\text{O}_6$

Химическая формула	$\text{Co}_3\text{B}_2\text{O}_6$
Длина волны, Å	0.71073
Размеры кристалла, мм ³	$0.37 \times 0.22 \times 0.03$
Температура, К	296
Кристаллическая структура	Ромбическая
Пространственная группа	$Pnnm(58)$
a , Å	4.5287(6)
b , Å	5.4614(8)
c , Å	8.4391(12)
$\alpha = \beta = \gamma$	90.000°
V , Å ³	208.72(5)
Z	2
Плотность (рассчитанная), г/см ³	2.50771
Коэффициент поглощения, мм^{-1}	5.867
$F(000)$	148
Θ	$4.45^\circ - 29.39^\circ$
Коррекция	Гауссова
Метод подгонки	Метод наименьших квадратов
Степень согласования	1.039
Индекс R1	0.0286
Индекс wR2	0.0449

темно-малинового цвета имели форму наклонных призм и были оптически прозрачны. Размеры полученных кристаллов достигали $1.2 \times 5.0 \times 23.0$ мм³.

Исследование кристаллической структуры выполнено с помощью рентгеновского монокристалльного автодифрактометра Bruker SMART APEX II при комнатной температуре (CCD-детектор). Использовалось K_α -излучение Mo. Кристаллическая структура была определена с использованием программного обеспечения SHELXTL [33]. Измерения показали, что кристаллическая структура $\text{Co}_3\text{B}_2\text{O}_6$ относится

к ромбической сингонии, пространственная группа $Pnnm$. Параметры элементарной ячейки приведены в табл. 3 и находятся в хорошем согласии с данными работы [15]. Рассчитанная плотность $\text{Co}_3\text{B}_2\text{O}_6$ равна $2.51 \text{ г}/\text{см}^3$. Координаты атомов и тепловые параметры приведены в табл. 4.

В структуре котоита $3d$ -катионы, находящиеся в октаэдрическом окружении кислорода, располагаются вдоль кристаллографической оси b . Атомы Co занимают две кристаллографически неэквивалентные позиции, $\text{Co}1$ ($2a$) и $\text{Co}2$ ($4f$). Атомы кислорода также имеют две позиции, $\text{O}1$ и $\text{O}2$. Атом бора окружен тремя атомами кислорода и формирует плоский треугольный анион $(\text{BO}_3)^{3-}$. Каждый анион $(\text{BO}_3)^{3-}$ связывает несколько октаэдров CoO_6 . Определенные по данным рентгеновской дифракции межатомные расстояния приведены в табл. 5. Среднее расстояние $\text{B}-\text{O}$ и угол связи $\text{B}-\text{O}-\text{B}$ равны соответственно 1.386 \AA и 119.92° , что хорошо согласуется с тригональной геометрией BO_3 -группы. Расстояния $\text{Co}-\text{O}$ находятся в интервале 2.073 – 2.126 \AA для иона $\text{Co}1$ и 2.067 – 2.169 \AA для иона $\text{Co}2$. Углы связей $\text{O}-\text{Co}1/\text{Co}2-\text{O}$ находятся в интервале 66.66° – 113.34° для $\text{Co}1$ и 81.56° – 105.50° для $\text{Co}2$. Октаэдры имеют разную степень искажения. Вокруг иона $\text{Co}1$ октаэдр сжат, в то время как вокруг $\text{Co}2$ — вытянут, и кроме тетрагонального имеется еще и ромбическое искажение.

Аналогично варвикитам и людвигитам, кристаллическую структуру котоита удобно представить в виде структурных единиц, соединенных друг с другом в объемный каркас и распространяющихся вдоль выделенного направления. Атомы кобальта в позициях 2–1–2 объединены в треугольники, которые соединяются между собой вершиной $\text{Co}1$ и распространяются вдоль кристаллографической оси b , образуя бесконечные цепочки (рис. 1). Ионы $\text{Co}1$ принадлежат двум соседним треугольникам одновременно. Расстояния между ионами внутри треугольной цепочки $\text{Co}1-\text{Co}2$ и $\text{Co}2-\text{Co}2$ практически одинаковы и равны соответственно 3.151 и 3.146 \AA . Наименьшее расстояние между цепочками равно 3.48 \AA и соответствует расстоянию $\text{Co}1-\text{Co}2$.

3. СПЕКТРОСКОПИИ XANES И EXAFS

Эксперименты по измерению рентгеновских спектров K -края поглощения кобальта (EXAFS и XANES) проведены в НИЦ «Курчатовский институт» на станции «Структурного материаловедения» (накопитель Сибирь-2). Режим накопителя 2.5 ГэВ

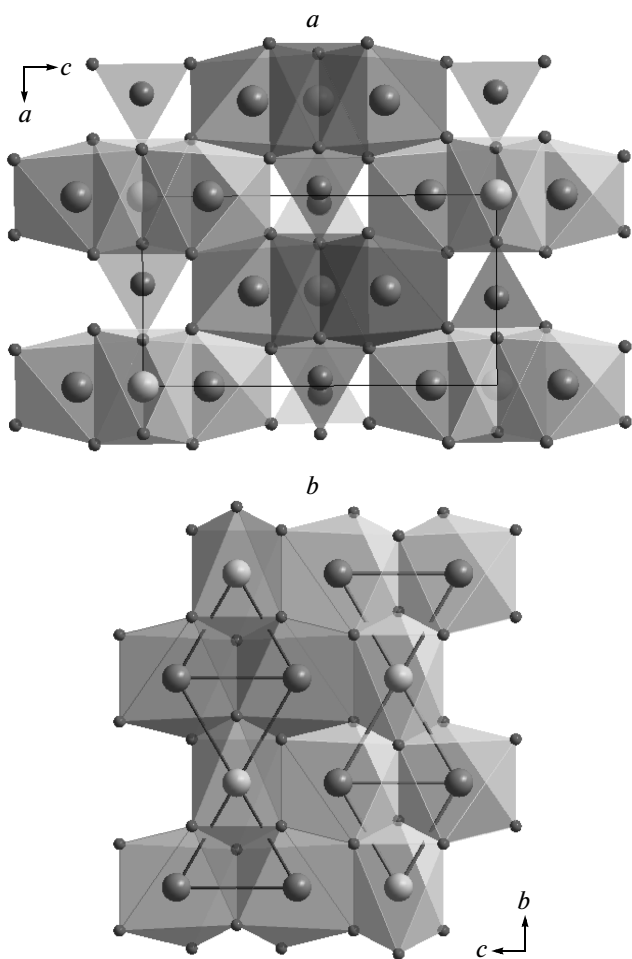


Рис. 1. Кристаллическая структура котоита $\text{Co}_3\text{B}_2\text{O}_6$ в проекции на плоскость ac (а) и bc (б). Большие светлые и темные кружки — ионы кобальта в позициях 1 и 2, средними кружками изображены ионы бора, маленькими — ионы кислорода. Прямоугольник изображает элементарную ячейку

при среднем электронном токе 80 мА . Спектры поглощения записывались методом на пропускание, в качестве монохроматора использован монокристалл кремния с прорезью $\text{Si}(111)$, обеспечивающий энергетическое разрешение $\Delta E/E \approx 2 \cdot 10^{-4}$. Интенсивности падающего и прошедшего через образец рентгеновского излучения регистрировались ионизационными камерами с воздушным наполнением, подключенными к цифровым пикоамперметрам Keithley-6487. Шаг сканирования в области XANES составлял около 0.5 эВ , в области EXAFS сканирование осуществлялось с равномерным шагом в шкале модулей волновых векторов фотоэлектро-

Таблица 4. Координаты атомов ($\times 10^4$) и тепловые параметры ($\text{\AA}^2 \times 10^4$) для $\text{Co}_3\text{B}_2\text{O}_6$

	<i>x</i>	<i>y</i>	<i>z</i>	<i>U</i> ₁₁	<i>U</i> ₂₂	<i>U</i> ₃₃	<i>U</i> ₁₂	<i>U</i> ₁₃	<i>U</i> ₂₃
Co1	0	0	0	79.4	56.4	97.4	-3.3	0	0
Co2	0	5000	1864.25	91.3	71.3	66.3	-2.617	0	0
O1	3019.4	2076.3	1384.2	111.8	122.9	102.8	-4.7	5.7	10.7
O2	2476.5	-3192.4	0	101.13	103.13	114.11	1.1	0	0
B	-4593.9	7457.7	0	122	54.19	132.19	18.14	0	0

Таблица 5. Длины связей, углы, сумма валентных связей и индекс искажения для $\text{Co}_3\text{B}_2\text{O}_6$

Координация кобальта			
Co1–O1	2.1258(17) \AA	Co2–O2i	2.1695(17) \AA
Co1–O2v	2.0728(22) \AA	Co2–O1ii	2.0678(17) \AA
Co1–O1v	2.1258(17) \AA	Co2–O1iii	2.1409(17) \AA
Co1–O1ix	2.1258(17) \AA	Co2–O2iv	2.0678(17) \AA
Co1–O2	2.0728(2) \AA	Co2–O2v	2.1696(16) \AA
Co1–O1vi	2.1258(17) \AA	Co2–O1	2.1409(17) \AA
O1–Co1–O2v	84.224(45) $^\circ$	O1iv–Co2–O1	105.50(4) $^\circ$
O2–Co1–O1	95.78(7) $^\circ$	O1ii–Co2–O1iv	88.72(10) $^\circ$
O2–Co1–O1ix	84.22(7) $^\circ$	O1iv–Co2–O1	90.20(4) $^\circ$
O1ix–Co1–O2v	95.776(45) $^\circ$	O1iv–Co2–O2v	92.559(49) $^\circ$
O1v–Co1–O2v	95.776(45) $^\circ$	O1ii–Co2–O1iii	90.20(4) $^\circ$
O1–Co1–O1v	113.34(9) $^\circ$	O1ii–Co2–O1	105.50(4) $^\circ$
O2–Co1–O1v	84.22(7) $^\circ$	O1–Co2–O2v	81.566(45) $^\circ$
O1ix–Co1–O1v	66.66(9) $^\circ$	O1iii–Co2–O2v	82.656(46) $^\circ$
O1vi–Co1–O2v	84.224(45) $^\circ$	O1iii–Co2–O2i	81.56(8) $^\circ$
O1–Co1–O1vi	66.66(9) $^\circ$	O1ii–Co2–O2i	92.57(7) $^\circ$
O2–Co1–O1vi	95.78(7) $^\circ$	O1–Co2–O2i	82.66(7) $^\circ$
O1ix–Co1–O1vi	113.34(9) $^\circ$	O2i–Co2–O2v	87.045(3) $^\circ$
O1vi–Co1–O1v	180.00(11) $^\circ$	O1ii–Co2–O2v	172.823(47) $^\circ$
O2v–Co1–O2	180.000(86) $^\circ$	O1iii–Co2–O1	158.18(9) $^\circ$
O1–Co1–O1ix	180.000 $^\circ$	O1iv–Co2–O2i	172.83(8) $^\circ$
Координация бора			
B–O1	1.3919(28) \AA	O1–B–O1vi	114.1(3) $^\circ$
B–O1vi	1.392(3) \AA	O1vi–B–O2vii	122.83(16) $^\circ$
B–O2vii	1.374(4) \AA	O2vii–B–O1	122.83(16) $^\circ$
Индекс искажения			
(Co1)O ₆	0.011		
(Co2)O ₆	0.018		

Примечание. Коды симметрии: (i) $x, 1+y, z$; (ii) $0.5-x, 0.5+y, 0.5-z$; (iii) $-x, 1-y, z$; (iv) $-0.5+x, 0.5-y, 0.5-z$; (v) $-x, -y, z$; (vi) $x, y, -z$; (vii) $1-x, -y, z$; (viii) $x/a, y/b, z/c$; (ix) $-x, -y, -z$.

на с $\Delta k = 0.05 \text{ \AA}^{-1}$, время накопления сигнала составляло 4 с на точку.

Для проведения исследования EXAFS- и XANES-спектров из монокристаллов $\text{Co}_3\text{B}_2\text{O}_6$ был приготовлен порошок темно-коричневого цвета, который затем наносился на тонкую каптоновую пленку с клейким слоем для достижения равномерного поглощения. Спектры были измерены при комнатной температуре, а также в области низких температур при $T = 10, 30, 40$ К с использованием гелиевого криорефрижератора замкнутого цикла Sumitomo Heavy Industries (Япония).

Протяженная тонкая структура рентгеновских спектров поглощения представляет собой осцилляции коэффициента рентгеновского поглощения $\mu(E)$ (E — энергия рентгеновских фотонов), возникающие в результате интерференции испускаемых поглощающим атомом первичных фотоэлектронных волн и волн, отраженных от атомов ближайшего окружения. Осциллирующая часть $\mu(E)$, нормированная на атомное поглощение, описывается интерференционной EXAFS-функцией [34]:

$$\chi(k) = \sum_j \frac{N_j S_0^2}{k} f_j(k) \times \times \text{Im} \left\langle \frac{1}{r_j^2} \exp \left(-\frac{2r_j}{\lambda} + 2ikr_j \right) \right\rangle \exp(i\delta_j(k)), \quad (1)$$

где k — волновой вектор фотоэлектрона, который задается соотношением $k = (0.2625(E - E_0))^{1/2}$ (E_0 — энергия K -края поглощения), f_j — амплитуда вероятности рассеяния фотоэлектрона на 180° (амплитуда обратного рассеяния), N_j — число атомов в j -й координационной сфере, $\delta_j(k)$ — сдвиг фаз при отражении, r_j — мгновенное положение атома j -й сферы относительно поглощающего атома, λ — длина свободного пробега фотоэлектрона, S_0^2 — вероятность одноэлектронных процессов, формирующих EXAFS при поглощении фотона; угловые скобки означают усреднение по тепловым отклонениям атомов от положения равновесия.

Осциллирующая часть коэффициента поглощения, нормированная на атомное поглощение, определяется соотношением [36]

$$\chi(k) = \frac{\mu(k) - \mu_0(k)}{\mu_0(k) - \mu_1(k)}, \quad (2)$$

где $\mu(k)$ — экспериментальный коэффициент поглощения образца, $\mu_1(k)$ — коэффициент поглощения, вызванного всеми процессами, за исключением фотоионизации электронной оболочки атома, $\mu_0(k)$ —

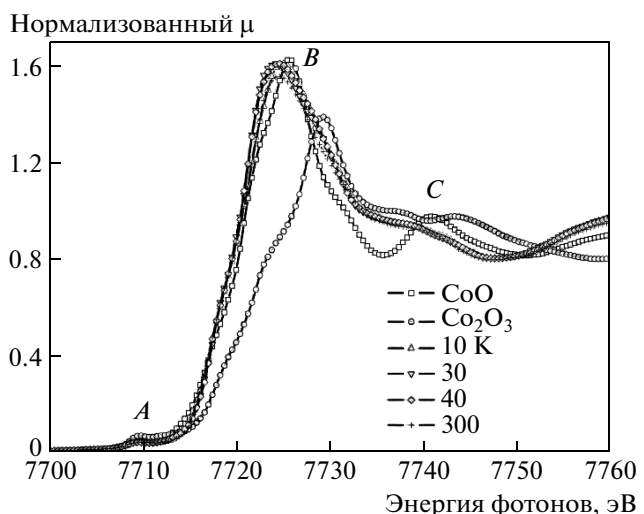


Рис. 2. Нормализованные XANES-спектры $\text{Co}_3\text{B}_2\text{O}_6$ в сравнении со спектрами CoO (Co^{2+}) и Co_2O_3 (Co^{3+})

коэффициент поглощения, который наблюдался бы в случае отсутствия соседних атомов около поглощающего.

После стандартных процедур выделения фона, нормирования на величину скачка K -края и выделения атомного поглощения μ_0 [35] проводилось фурье-преобразование полученных EXAFS-спектров (χ_{exp}) в интервале волновых векторов фотоэлектронов k от 2.0 до 14.5 \AA^{-1} с весовой функцией k^3 с использованием окна кайзер-бесселевской формы. Пороговая энергия ионизации E_0 выбиралась по значению максимума первой производной K -края. Точные значения параметров структуры ближайшего окружения атомов кобальта определялись путем нелинейной подгонки параметров соответствующих координационных сфер. Для этого сопоставлены рассчитанный EXAFS-сигнал и выделенные из полного EXAFS-спектра модули фурье-образа. Указанная нелинейная подгонка проводилась с использованием пакета программ IFFEFIT [36]. Необходимые для построения теоретического спектра фазы и амплитуды рассеяния фотоэлектронной волны рассчитывались с использованием программы FEFF8 [37]. Начальные приближения для параметров локального окружения кобальта выбирались на основе рентгеноструктурных данных.

В качестве стандартов для анализа XANES-спектров использовались спектры оксидов CoO (Co^{2+}) и Co_2O_3 (Co^{3+}).

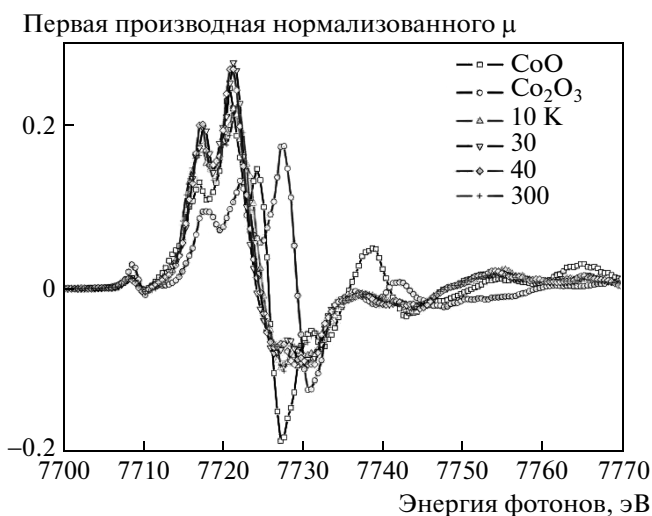


Рис. 3. Первая производная нормализованных XANES-спектров состава $\text{Co}_3\text{B}_2\text{O}_6$ при температурах 10, 30, 40, 300 К в сравнении со спектрами Co^{2+} и Co^{3+}

На рис. 2 приведены XANES-спектры $\text{Co}_3\text{B}_2\text{O}_6$ на K -крае кобальта в интервале энергий 7700–7760 эВ при различных температурах. Также для сравнения показаны снятые при комнатной температуре спектры модельных соединений CoO и Co_2O_3 . Совпадение максимумов первой производной K -края поглощения (рис. 3) для CoO и исследуемого $\text{Co}_3\text{B}_2\text{O}_6$ указывает на то, что исследуемое соединение содержит кобальт только в двухвалентном состоянии. Этот вывод находится в полном соответствии с результатами расчета методом валентных сумм.

В области края поглощения можно выделить три особенности, показанные на рис. 2 буквами «*A*», «*B*», «*C*», которые можно интерпретировать как переходы фотоэлектрона, возбуждаемого с $1s$ -уровня кобальта в связанные состояния и процессы его рассеяния на локальном окружении. Особенность *A*, расположенная перед основным краем поглощения, соответствует квадрупольному $1s$ – $3d$ -переходу для октаэдрического окружения [38]. Интенсивность предкраевого перехода обычно очень мала, но из-за высокой плотности состояний в $3d$ -зоне и гибридизации $3d$ – $4p$ -зон этот переход экспериментально может быть обнаружен. Основной максимум поглощения *B* соответствует дипольно-разрешенному $1s$ – $4p$ -переходу. Максимум *C* в формализме многократного рассеяния отвечает резонансному рассеянию фотоэлектрона атомами кислорода в первой координационной сфере. Особенности тонкой

структурь, лежащие еще выше по энергии, имеют EXAFS-природу.

Полный количественный анализ EXAFS-спектров вызывает серьезные затруднения ввиду сложности кристаллографического устройства оксиборатов. В связи с этим, анализ полученных спектров был ограничен первой координационной сферой. Как видно на рис. 4, модули фурье-образов EXAFS-спектров состоят из первого пика ($r \approx 1.50$ – 2 Å), соответствующего координационной сфере Co – O , второго пика ($r \approx 2.50$ – 3.2 Å), соответствующего координационной сфере Co – Co , и пиков меньшей интенсивности, соответствующих эффектам многократного рассеяния и расстояниям Co – B . Интенсивный пик фурье-образа ($r \approx 5.1$ Å) соответствует расстояниям Co – Co (5.45–5.55 Å). В структуре $\text{Co}_3\text{B}_2\text{O}_6$ присутствует 18 контактов Co – Co в указанном диапазоне расстояний. Высокая интенсивность этого пика, наблюдаемая даже при комнатной температуре, указывает на жесткость химических связей, формирующих данную структуру. При понижении температуры наблюдается существенный рост интенсивности пиков Co – Co в фурье-образах в соответствии с уменьшением средней амплитуды тепловых колебаний (параметров Дебая–Валлера). Для первой координационной сферы температурные изменения носят немонотонный характер: максимальная пикивая интенсивность наблюдается при $T = 40$ К, а при последующем понижении температуры имеет место снижение интенсивности. Данное изменение является систематическим и по абсолютной величине превышает статистическую погрешность проведенных измерений.

Максимальная интенсивность пика Co – O на фурье-образе при температуре 40 К (вблизи магнитного фазового перехода) соответствует точке максимального эффективного упорядочения, учитывающей как динамическую (амплитуда тепловых колебаний), так и статическую (структурно-обусловленный разброс длин связей) составляющие.

Количественный анализ был выполнен для первого максимума фурье-образа в интервале расстояний $r = 1.0$ – 2.2 Å и интервале волновых векторов фотоэлектрона $k = 2.0$ – 14.5 Å^{–1}. Согласно данным рентгеноструктурного анализа, ближайшие расстояния Co – O можно разделить на две группы со средним значением $\langle (\text{Co}1-\text{O})_1 \rangle = 2.07$ (две связи, $N = 2$) и $\langle (\text{Co}1-\text{O})_2 \rangle = 2.12$ Å (четыре связи, $N = 4$) для ионов кобальта в позиции 1. Аналогично для $\text{Co}2$ имеем $\langle (\text{Co}2-\text{O})_1 \rangle = 2.07$ ($N = 2$) и $\langle (\text{Co}2-\text{O})_2 \rangle = 2.15$ Å ($N = 4$). Среднее расстояние

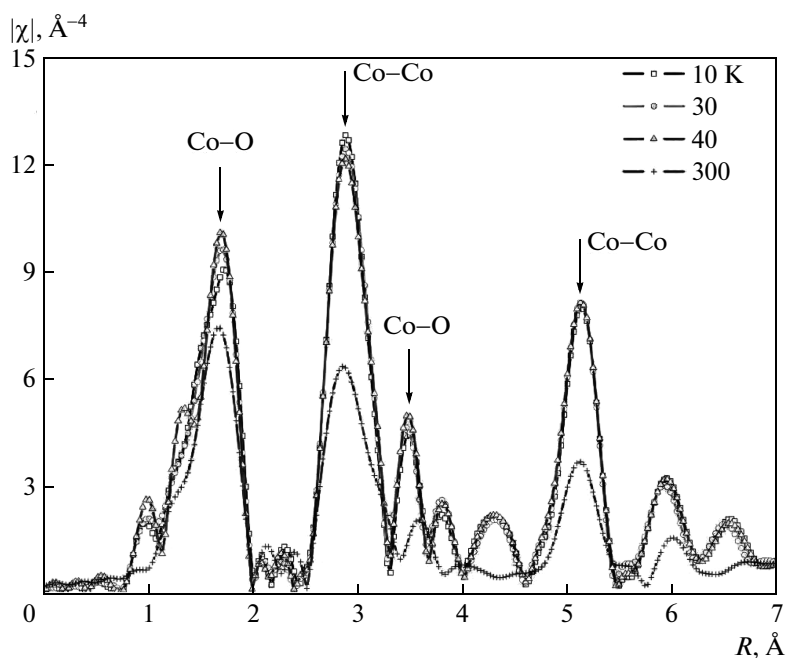


Рис. 4. Фурье-образ, выделенный из EXAFS-спектров $\text{Co}_3\text{B}_2\text{O}_6$ при разных температурах

$\langle \text{Co}-\text{O} \rangle$ ($N = 6$) в кристалле близко к 2.11\AA .

Анализ проводился в рамках как одно-, так и двухсферной структурных моделей, включающих в себя либо одно усредненное расстояние $\langle \text{Co}-\text{O} \rangle$ ($N = 6$), либо расстояния $(\text{Co}-\text{O})_1$ и $(\text{Co}-\text{O})_2$ соответственно с координационными числами 2 и 4. Были рассчитаны теоретические EXAFS-функции $\chi_{theor}(k)$ и проведена подгонка параметров первого пика фурье-образа. Параметры локального атомного окружения кобальта, полученные в результате лучшей подгонки EXAFS-данных, приведены в табл. 6. Односферная модель достаточно хорошо описывает наблюдаемые спектры EXAFS. Средняя длина связи $\langle \text{Co}-\text{O} \rangle$ слабо меняется с температурой и близка к 2.10\AA в хорошем согласии с данными рентгеноструктурного исследования, проведенного при комнатной температуре. Эффективные значения дебаевских параметров при этом проходят через минимум при температуре $T = 40 \text{ K}$. Использование двух неэквивалентных расстояний $\text{Co}-\text{O}$ с координационными числами 2 и 4 в уточняемой модели приводит к улучшению сходимости для спектра, измеренного при $T = 10 \text{ K}$. В рамках этой модели можно выделить расстояния двух типов: «короткие» $(\text{Co}-\text{O})_1 = 2.02-2.09 \text{\AA}$ и «длинные» $(\text{Co}-\text{O})_2 = 2.11-2.13 \text{\AA}$, которые по-разному изменяются с температурой. Первое расстояние увеличивается с ростом температуры, в то время как второе

Таблица 6. Параметры ближайшего координационного окружения кобальта, полученные из подгонки EXAFS-данных в рамках одно- и двухсферной моделей

$T, \text{ K}$	Путь рас- сеяния	$r, \text{\AA}$	N	$\sigma^2, \text{\AA}^2$	$E_0, \text{ эВ}$	R -фак- тор
10	$\langle \text{Co}-\text{O} \rangle$	2.11	6	0.0058	0.1	0.008
	$(\text{Co}-\text{O})_1$	2.02	2	0.0025	-1.4	0.003
	$(\text{Co}-\text{O})_2$	2.13	4			
30	$\langle \text{Co}-\text{O} \rangle$	2.10	6	0.0055	-0.4	0.007
	$(\text{Co}-\text{O})_1$	2.03	2	0.0032	-1.2	0.006
	$(\text{Co}-\text{O})_2$	2.12	4			
	$\langle \text{Co}-\text{O} \rangle$	2.10	6	0.0054	0.3	0.011
40	$(\text{Co}-\text{O})_1$	2.06	2	0.0047	0.3	0.011
	$(\text{Co}-\text{O})_2$	2.12	4			
	$\langle \text{Co}-\text{O} \rangle$	2.10	6	0.0074	0.0	0.020
300	$(\text{Co}-\text{O})_1$	2.09	2	0.0074	0.0	0.020
	$(\text{Co}-\text{O})_2$	2.11	4			

Примечания. r — межатомные расстояния, N — координационное число, σ^2 — фактор Дебая — Валлера, E_0 — порог ионизации атома, R -фактор — величина отклонения $\chi_{theor}(k)$ от $\chi_{exp}(k)$

рое демонстрирует небольшое уменьшение. В рамках двухсферного уточнения при понижении температуры изменение дебаевских параметров носит характер монотонного уменьшения.

4. НАМАГНИЧЕННОСТЬ И МАГНИТНАЯ ВОСПРИИМЧИВОСТЬ

Исследование магнитных свойств $\text{Co}_3\text{B}_2\text{O}_6$ выполнено с помощью коммерческих платформ SQUID MPMS и PPMS Quantum Design. Магнитные измерения выполнены в интервале температур $T = 2\text{--}300\text{ K}$ на монокристалле в направлении внешнего поля параллельном $M_{||}$ и перпендикулярном M_{\perp} оси a кристалла.

На рис. 5 представлены кривые действительной компоненты намагниченности $M'(T)$, полученные в переменном внешнем магнитном поле ($f = 0.1\text{--}10\text{ kHz}$) при различной ориентации постоянного внешнего поля относительно кристаллографической оси a . В обоих случаях зависимость $M'(T)$ характеризуется двумя максимумами, первый из которых соответствует переходу образца в антиферромагнитное состояние с температурой $T_1 = 33\text{ K}$. Следует отметить, что температура перехода T_1 находится в хорошем согласии с магнитными данными

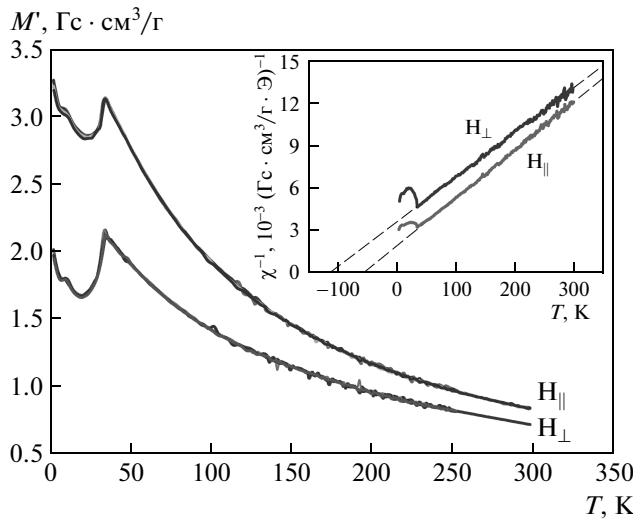


Рис. 5. Действительная компонента намагниченности $\text{Co}_3\text{B}_2\text{O}_6$ в переменном магнитном поле ($f = 0.1, 0.5, 1.0, 5.0, 10\text{ kHz}$). Постоянное магнитное поле ($H_{||} = 10\text{ Э}$). На вставке: температурная зависимость обратной магнитной восприимчивости $\text{Co}_3\text{B}_2\text{O}_6$, $H_{||} = 500\text{ Э}$. Прямая линия — аппроксимация по закону Кюри–Вейсса

$T_N = 30\text{--}37\text{ K}$ [13, 25, 39]. При последующем понижении температуры видна слабая особенность при $T_2 = 10\text{ K}$. В переменном магнитном поле образец не обнаруживает дисперсию критических температур (T_1 и T_2). Измерения при различных режимах охлаждения (FC и ZFC) не выявили различия в криевых намагниченности (не приведены в работе). Видно, что направление параллельно кристаллографической оси a , которая является осью легкого намагничивания.

Анизотропия намагниченности также видна на температурных зависимостях обратной магнитной восприимчивости в постоянном магнитном поле (вставка на рис. 5). В широком температурном интервале со стороны высоких температур хорошо выполняется закон Кюри–Вейсса. Величины парамагнитной температуры Кюри $\Theta_{\perp} = -115\text{ K}$ и $\Theta_{||} = -52\text{ K}$. Отрицательные значения температур указывают на преимущественно антиферромагнитные корреляции спинов. Величины эффективного магнитного момента, приходящегося на один ион Co^{2+} , для параллельной и перпендикулярной ориентаций внешнего поля составляют $\mu_{eff||} = 4.81\mu_B$ и $\mu_{eff\perp} = 4.98\mu_B$.

На рис. 6 представлены температурные кривые намагниченности, измеренные в направлении внешнего поля параллельного оси a в полях до 50 kE . Экспериментальное значение магнитного момента, полученное при $T = 4.2\text{ K}$ в поле 10 kE , близко к соответствующему значению, найденному ранее в работах [25, 39]. С ростом напряженности магнитного поля низкотемпературный максимум слегка смещается в область низких температур, в отличие от перехода T_1 , который не зависит от поля. Из экспериментальных кривых $M(T)$ довольно трудно определить полевую зависимость T_2 . Такая зависимость более точно может быть обнаружена из температурной зависимости производной $dM/dT(T)$ (вставка на рис. 6). Видно, что с увеличением напряженности магнитного поля температура перехода T_2 быстро уменьшается, достигая значения 4 K при $H = 24\text{ kE}$.

На рис. 7 представлены изотермы намагниченности $\text{Co}_3\text{B}_2\text{O}_6$ при $T = 2\text{ K}$ и двух ориентациях внешнего поля относительно оси a . Здесь обращает на себя внимание то, что обе кривые демонстрируют особенность вблизи $H_{sf} = 23\text{ kE}$, которую можно связать со спин-флоп-переходом. Отсутствие магнитного гистерезиса в точке H_{sf} свидетельствует об обратимости перехода. Данная особенность хорошо видна на полевой зависимости производной $dM/dH(H)$ в виде максимума при H_{sf} (нижняя вставка к рис. 7). При повышении температу-

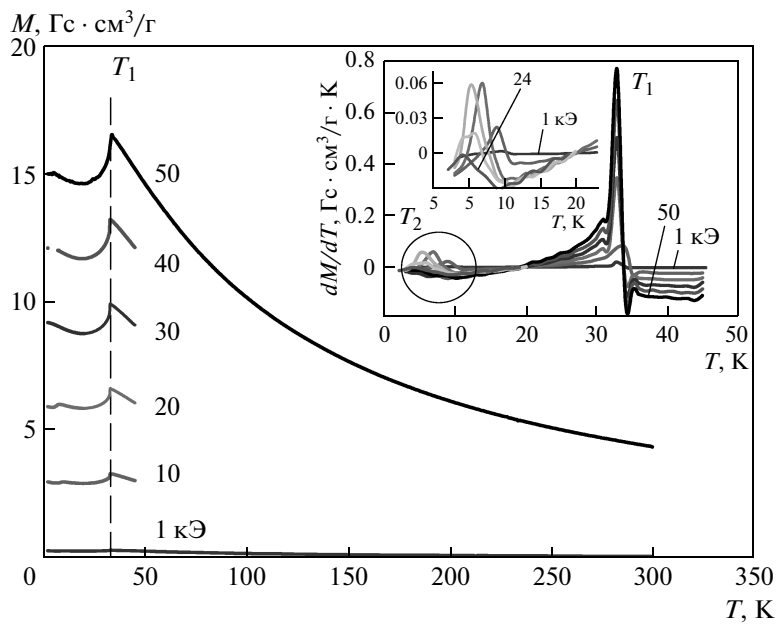


Рис. 6. Температурные зависимости намагниченности $\text{Co}_3\text{B}_2\text{O}_6$, измеренные в интервале внешних полей $H_{\parallel} = 1$ – 50 кЭ. На вставке: температурные зависимости производных dM/dT . Максимумы соответствуют критическим температурам переходов T_1 и T_2 . В увеличенном масштабе приведено температурное смещение точки перехода T_2

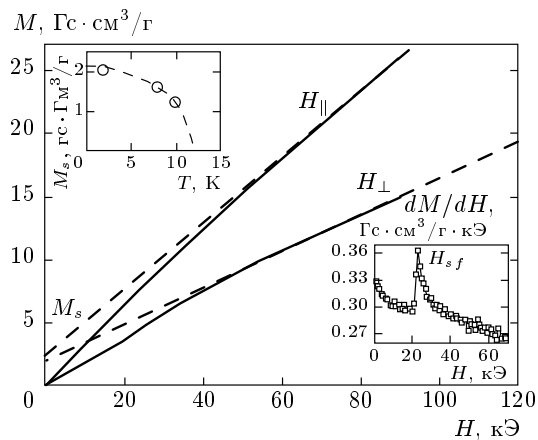


Рис. 7. Полевые зависимости намагниченности $\text{Co}_3\text{B}_2\text{O}_6$, полученные при различной ориентации внешнего магнитного поля относительно оси a ($T = 2$ К). Штриховыми линиями показана экстраполяция кривой к нулевому полю. На вставке вверху: температурная зависимость спонтанной намагниченности. Штриховая линия проведена на «глаз». На вставке внизу: полевая зависимость производной намагниченности по полю ($H \parallel a$, $T = 2$ К). Спин-флоп-переход $H_{sf} = 23$ кЭ

ры происходит значительное уширение максимума, переход становится сглаженным, однако его мож-

но наблюдать вплоть до температуры 10 К. В полях выше H_{sf} кривые намагниченности обнаруживают существование спонтанного магнитного момента и намагниченность может быть описана выражением $M = M_0 + \chi_{\perp}H$. Величина $M_0 = 0.11\mu_B$ на формульную единицу при $T = 2$ К. С ростом температуры M_0 уменьшается (верхняя вставка к рис. 7). При $T = 20$ К и выше кривые намагничивания линейны без каких-либо особенностей. Магнитная восприимчивость в антиферромагнитной фазе для поля параллельного и перпендикулярного оси a равна соответственно $\chi_{\parallel} = 1.47 \cdot 10^{-5} \mu_B/\text{Э}$ и $\chi_{\perp} = 0.87 \cdot 10^{-5} \mu_B/\text{Э}$ в расчете на формульную единицу. В области $T \geq 40$ К кривые $M(H)$ линейны и соответствуют парамагнитному поведению.

5. АНАЛИЗ ОБМЕННЫХ ВЗАИМОДЕЙСТВИЙ

Проведем анализ обменных взаимодействий в рамках простой модели косвенной связи. Теоретические основы этой модели изложены в работах [40, 41]. Практическое приложение модели к $3d$ -cationам в магнитодиэлектриках показано в работе [42]. Ранее подобный расчет был проведен нами

для людвигитов $\text{Co}_3-x\text{Fe}_x\text{BO}_5$ и показал хорошее согласие с экспериментом [28].

В вычислениях ограничимся приближением ближайших соседей, т. е. будем рассматривать взаимодействия только по коротким связям $\text{Co}-\text{O}-\text{Co}$, пренебрегая длинными связями $\text{Co}-\text{O}-\text{Co}-\text{O}-\text{Co}$ и $\text{Co}-\text{O}-\text{B}-\text{O}-\text{Co}$. С точки зрения косвенной обменной связи, в структуре котоита имеются четыре типа обменных взаимодействий: 93° , 95° , 112° , 123° , которые описываются интегралами

$$\begin{aligned} J1 = J_{12}^{95^\circ} &= -\frac{1}{9}c \left[\left(\frac{8}{3}b + c \right) U - \right. \\ &\quad \left. - \left(4b + \frac{1}{2}c \right) J_{in} \right] \approx -2.16 \text{ K}, \\ J2 = J_{12}^{112^\circ} &= -\frac{1}{27}bc(4U - J_{in})(1+2\cos 65^\circ) \times \\ &\quad \times |\cos 112^\circ| \approx -1.2 \text{ K}, \\ J3 = J_{22}^{93^\circ} &= -\frac{32}{27}bcU \approx -15.44 \text{ K}, \\ J4 = J_{22}^{123^\circ} &= -\frac{1}{9} \left(\frac{32}{9}b^2U - c^2J_{in} \right) \times \\ &\quad \times |\cos 123^\circ| \approx -5.44 \text{ K}. \end{aligned} \quad (3)$$

Здесь верхний индекс обозначает угол косвенной связи, а нижний — номер кристаллографической позиции; b и c — параметры электронного переноса соответственно по σ - и π -связям; U — энергия электронного возбуждения лиганда-катион; J_{in} — интеграл внутриатомного обмена (энергия Хунда), $\cos 65^\circ$ призван описать угловую зависимость электронного переноса при повороте координционного октаэдра относительно своей главной оси, $|\cos 112^\circ|$ и $|\cos 123^\circ|$ учитывают углы косвенной связи. Интеграл катион-катионного взаимодействия является суммой взаимодействий индивидуальных $3d$ -орбиталей.

Октаэдры соседних катионов, имеющие общие ребра, обусловливают обменную связь с углом 95° $J1$ и связь с углом 93° $J3$. Октаэдры, связанные общим атомом кислорода, допускают косвенную связь под углом 112° $J2$ и связь под углом 123° $J4$ (рис. 8). В качестве примера рассмотрим вклады в интеграл катион-катионного обменного взаимодействия $J1$. Катион $\text{Co}1$ располагается в сжатом кислородном октаэдре, в связи с чем, согласно представлениям теории кристаллического поля, его d_{xy} -орбиталь двукратно занята. Седьмой электрон равновероятно заселяет d_{xz} - и d_{yz} -орбитали, каждая из которых может быть заселена либо однократно, либо двукратно $\frac{1}{2}(\uparrow + \uparrow\downarrow)$. Вокруг узла $\text{Co}2$ октаэдр вытянут, в связи с чем его d_{xz} - и d_{yz} -орбитали заняты дву-

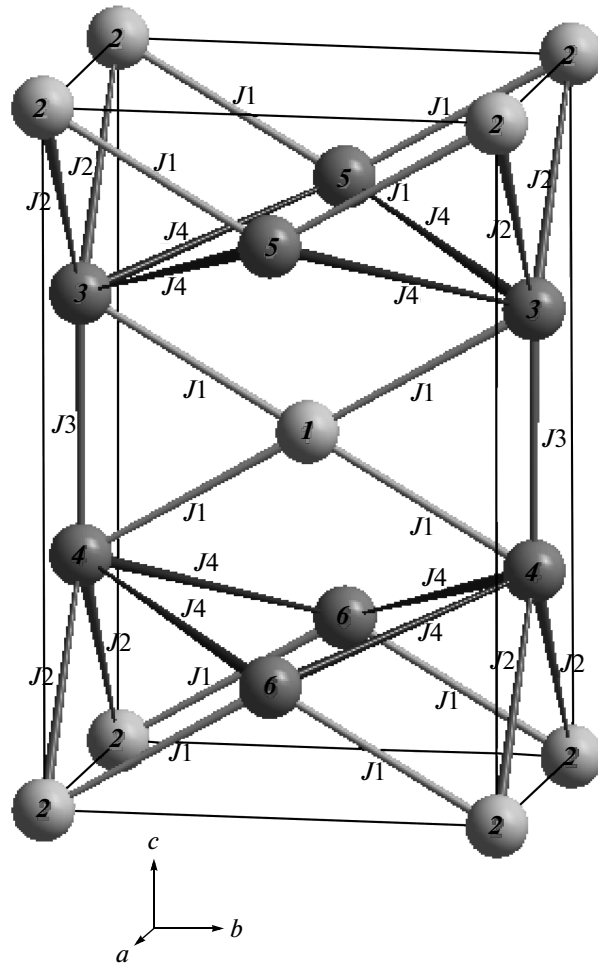


Рис. 8. Схема косвенных обменных взаимодействий. Светлые кружки обозначают ионы $\text{Co}1$, темные — $\text{Co}2$. Цифрами показана принадлежность кристаллографических позиций к магнитным подрешеткам

кратно, а орбиталь d_{xy} — однократно. За локальные оси z приняты короткая ось октаэдра $\text{Co}1\text{O}_6$ и длинная ось октаэдра $\text{Co}2\text{O}_6$. Зная локальные оси, формы $3d$ -орбиталей, их заселенность для каждого катиона и геометрию взаимного расположения соседних октаэдров, определяем разрешенные симметрией перекрывания орбиталей взаимодействующих катионов. На рис. 9а приведены конфигурации индивидуальных $3d$ -орбиталей при косвенной связи $\text{Co}1-\text{Co}2$ с углом 95° через два кислорода при разрешенных симметрией решетки электронных переносах и выражения обменных интегралов индивидуальных орбиталей. Видно, что интеграл взаимодействия состоит как из положительных, так и из отрицательных вкладов. Используя известные для

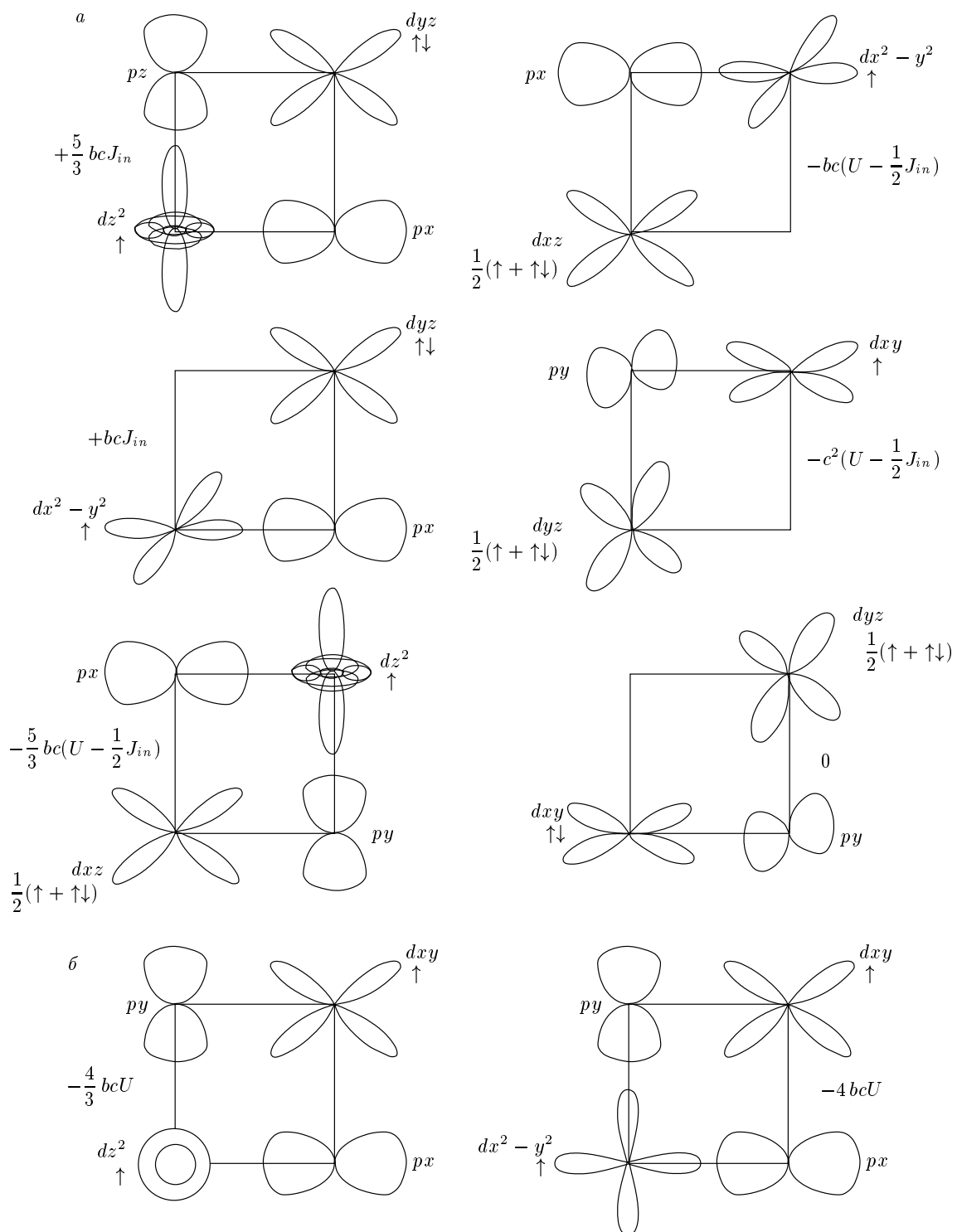


Рис. 9. Схема взаимодействующих 3d-орбиталей катионов *а*) Со1–Со2 и *б*) Со2–Со2, участвующих соответственно в косвенных связях под углом 90° J_1 и J_3 , и вклады индивидуальных орбиталей в катион-катионное взаимодействие

структурой шпинели, октаэдрические позиции которой имеют сравнимые с котоитом межионные расстояния, значения параметров $b = 0.02$, $c = 0.01$, $U = 5.6$ эВ, $J_{in} = 2.2$ эВ [42], приходим к оценочным значениям параметров катион-катионного обменного взаимодействия, указанным в формуле (3) спра-ва.

Наиболее слабыми являются взаимодействия J_1 и J_2 , которые носят преимущественно антиферромагнитный характер. Однако они ослаблены ферромагнитными взаимодействиями, возникающими за счет перекрытия однократно занятых e_g -орбиталей подрешетки (Co1) и двукратно занятых t_{2g} -орбиталей подрешетки (Co2). Наиболее сильными являются антиферромагнитные взаимодействия J_3 и J_4 , соответствующие обменной связи Co2–Co2. В случае взаимодействия Co2–Co2 под углом 93° перекрытие однократно занятых d_{z^2} , $d_{x^2-y^2}$, d_{xy} -орбиталей также, что возникает сильная антиферромагнитная связь J_3 (рис. 9б). При расположении катионов Co2–Co2 под углом 123° антиферромагнитное взаимодействие слабее за счет перекрытия однократно и двукратно занятых орбиталей $d_{xy}(\uparrow)-d_{yz}(\uparrow\downarrow)$ и однократно занятых $d_{z^2}(\uparrow)-d_{z^2}(\uparrow)$, $d_{x^2-y^2}(\uparrow)-d_{x^2-y^2}(\uparrow)$.

Взаимодействия между всеми кристаллографическими позициями отрицательны, что указывает на стремление к антиферромагнитному упорядочению. В этом случае кристаллографические позиции разбиваются на магнитные подрешетки. Представим котоит магнетиком, состоящим из шести подрешеток, в котором кристаллографические позиции Co1 разбиваются на две магнитные подрешетки — 1 и 2, — а кристаллографические позиции Co2 разбиваются на четыре магнитные подрешетки — 3, 4, 5, 6. Принадлежность позиций котоита к подрешеткам показана на рис. 10. Следует отметить, что ранее метод косвенной связи был применен для расчета магнитных структур Ni₃B₂O₆ и Co₃B₂O₆, выращенных в растворе-расплаве, содержащем Na₂O. Полученные нами величины интегралов взаимодействий хорошо согласуются с данными работы [39].

С учетом чисел соседей приходим к значениям межподрешеточных взаимодействий, приведенных в табл. 7. Стрелками показана магнитная структура (взаимная ориентация магнитных моментов), на-вязываемая вычисленными параметрами обменного взаимодействия. Сильные антиферромагнитные взаимодействия, действующие в кристаллографической подрешетке Co2, заставляют котоит быть антиферромагнетиком. На катоны подрешеток 1 и 2 со стороны катионов подрешеток 3–6 действуют как упорядочивающие взаимодействия, поддержи-

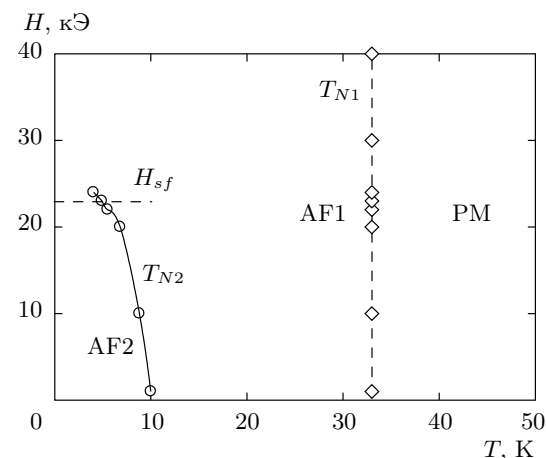


Рис. 10. Магнитная фазовая диаграмма Co₃B₂O₆.
Штриховая кривая проведена «на глаз»

вающие антиферромагнитную структуру котоита, так и разупорядочивающие взаимодействия. Разупорядочивающие взаимодействия в таблице записаны курсивом. При этом сила упорядочивающих взаимодействий равна силе разупорядочивающих взаимодействий. Таким образом, обменные поля на катионах 1 и 2 равны нулю, и магнитные моменты этих подрешеток свободны в своем поведении. Возможно, они могут дать парамагнитный вклад в намагниченность кристалла или же случайно упорядочиться под действием более слабых взаимодействий или дефектов решетки.

Зная набор обменных взаимодействий в кристалле, можно вычислить температуру магнитного упорядочения. Получаем $T_N = 32$ К, что хорошо соглашается с экспериментальным значением. Достаточно удовлетворительное согласие вычисленной магнитной структуры и температуры магнитного упорядочения с экспериментальными результатами может свидетельствовать в пользу адекватности проведенной оценки взаимодействий, существующих в котоите.

6. ОБСУЖДЕНИЕ РЕЗУЛЬТАТОВ И ВЫВОДЫ

С помощью методов EXAFS- и XANES-спектроскопии изучены электронное состояние и локальная кристаллическая структура иона кобальта. Наличие высокointенсивных пиков дальних координационных сфер на модуле фурье-образа EXAFS-спектра указывает на жесткость каркаса химических связей в структуре. Обнаружены особенности на K-крае по-

Таблица 7. Интегралы внутри- и межподрешеточных обменных взаимодействий

$Z_{ij}J_{ij}$, К	\uparrow 1(Co1)	\downarrow 2(Co1)	\uparrow 3(Co2)	\downarrow 4(Co2)	\downarrow 5(Co2)	\uparrow 6(Co2)
\uparrow 1(Co1)	0	0	-4.32	-4.32	-2.40	-2.40
\downarrow 2(Co1)	0	0	-2.40	-2.40	-4.32	-4.32
\uparrow 3(Co2)	-4.32	-2.40	0	-15.44	-21.76	0
\downarrow 4(Co2)	-4.32	-2.40	-15.44	0	0	-21.76
\downarrow 5(Co2)	-2.40	-4.32	-21.76	0	0	-15.44
\uparrow 6(Co2)	-2.40	-4.32	0	-21.76	-15.44	0

глощения, соответствующие квадрупольному $1s-3d$ -дипольному $1s-4p$ -переходам. Показано, что ионы кобальта находятся в двухвалентном состоянии. Для первого максимума фурье-образа был выполнен количественный анализ в рамках одно- и двухсферной структурных моделей, где учитывались шесть усредненных расстояний $\langle \text{Co}-\text{O} \rangle$ или два типа расстояний $(\text{Co}-\text{O})_1$ и $(\text{Co}-\text{O})_2$ с координационными числами соответственно 2 и 4. Теоретические EXAFS-функции $\chi_{theor}(k)$ хорошо описывают экспериментальные спектры в обоих случаях. Межионные расстояния, определенные в рамках обеих моделей, находятся в хорошем согласии с данными монокристаллической рентгеновской дифракции. Температурные изменения расстояний Co–O наилучшим образом проявляются в двухсферной модели. С температурой происходят сжатие октаэдра в направлении длинных кислородных связей и растяжение в направлении коротких связей.

Анализ показал монотонное уменьшение эффективных дебаевских параметров при охлаждении в обеих моделях. При этом в случае односферного подхода параметр Дебая–Валлера проходит через минимум при температуре $T = 40$ К, что может свидетельствовать об изменениях в локальной атомной структуре в области магнитного фазового перехода.

Магнитные измерения показали, что ось a является направлением легкого намагничивания. Обращает на себя внимание тот факт, что намагченность ниже T_N в обоих направлениях (параллель-

но и перпендикулярно кристаллографической оси a) стремится к конечному значению. Такое поведение может как быть следствием неколлинеарной магнитной структуры, так и указывать на то, что в обоих случаях внешнее магнитное поле направлено под углом к оси антиферромагнетизма.

Величина эффективного магнитного момента для разных ориентаций внешнего поля лежит в интервале $\mu_{eff} = 4.81-4.98 \mu_B/\text{Со}$ и хорошо согласуется со значениями $4.44-5.25 \mu_B$, установленными ранее для двухвалентного кобальта в высокоспиновом состоянии ($t_{2g}^5 e_g^2$) [43]. Небольшое различие в величинах $\mu_{eff\perp}$ и $\mu_{eff\parallel}$ также свидетельствует в пользу того, что система магнитно анизотропна. Чисто спиновое значение эффективного магнитного момента иона кобальта при величине g -фактора равной двум составляет $\mu_{eff} = g\mu_B\sqrt{S(S+1)} = 4.08 \mu_B$, что говорит о существенном орбитальном вкладе в магнитный момент.

Особенность на кривых $M(H)$ при $H_{sf} = 23$ кЭ ($T = 2$ К) связана с опрокидыванием спиновой плоскости (спин-флоп-переход). При $H > H_{sf}$ спиновая переориентация вызывает возникновение спонтанной намагниченности, которая быстро уменьшается с ростом температуры.

Расчет обменных взаимодействий показал, что в $\text{Co}_3\text{B}_2\text{O}_6$ преобладающим типом обмена является антиферромагнитный, что согласуется с данными магнитных измерений. В этой связи $\text{Co}_3\text{B}_2\text{O}_6$ можно рассматривать как трехмерный антиферромагнетик.

Магнитная фазовая диаграмма $\text{Co}_3\text{B}_2\text{O}_6$, построенная с использованием результатов магнитных измерений, представлена на рис. 10. На диаграмме можно выделить три области: парамагнитную РМ, антиферромагнитную AF1 и антиферромагнитную AF2, в которой имеет место спонтанная намагниченность, индуцированная полем. Таким образом, магнитная структура $\text{Co}_3\text{B}_2\text{O}_6$, по-видимому, является более сложной, чем предполагалось ранее в работе [25]. Наличие спин-переориентационного перехода на кривых намагничивания, измеренных в двух кристаллографических направлениях, свидетельствует о том, что ось антиферромагнетизма, возможно, располагается под углом к осям a и b .

В заключение отметим, что приведенные здесь расчеты анизотропных взаимодействий носят оценочный характер и проведены для случая одноосного антиферромагнетика без учета фruстраций обменных связей. Для получения дополнительных данных о магнитной фазовой диаграмме $\text{Co}_3\text{B}_2\text{O}_6$ несомненный интерес представляют нейтронографические исследования в магнитном поле.

Авторы благодарят С. Н. Софронову за полезное обсуждение и замечания.

Работа выполнена при финансовой поддержке РФФИ (гранты №№ 12-02-00175-а, 12-02-90410-Укр_a, 12-02-31543 мол_a, 13-02-00958-а), гранта Президента РФ (НШ-1044.2012.2), Министерства образования и науки РФ (соглашение № 8365), а также в рамках программы № 38 СО РАН и интеграционного проекта № 29 СО РАН–НАН Беларусь. Синхротронные измерения проводились в ЦКП «Курчатовский центр синхротронного излучения и нанотехнологий» (Госконтракт 16.552.11.7055).

ЛИТЕРАТУРА

1. А. К. Звездин, С. С. Кротов, А. М. Кадомцева и др., Письма в ЖЭТФ **81**, 335 (2005).
2. А. Д. Балаев, Л. Н. Безматерных, С. А. Харламова et al., J. Magn. Magn. Mater. C **258–259**, 532 (2003).
3. И. А. Троян, А. Г. Гаврилюк, С. Г. Овчинников и др., Письма в ЖЭТФ **94**, 811 (2011).
4. А. Г. Гаврилюк, Н. В. Казак, С. Г. Овчинников и др., Письма в ЖЭТФ **88**, 877 (2008).
5. R. Komatsu, T. Sugawara, K. Sassa et al., Appl. Phys. Lett. **70**, 3492 (1997).
6. И. Н. Огородников, Н. Е. Порывай, В. А. Пустоваров и др., ФТТ **51**, 1097 (2009).
7. Н. Б. Иванова, А. Д. Васильев, Д. В. Великанов и др., ФТТ **49**, 618 (2007).
8. J. P. Attfield, A. M. T. Bell, L. M. Rodrigues-Martinez et al., J. Mater. Chem. **9**, 205 (1999).
9. R. I. Goff, A. J. Williams, and J. P. Attfield, Phys. Rev. B **70**, 014426 (2004).
10. Yu. V. Knyazev, N. B. Ivanova, N. V. Kazak et al., J. Magn. Magn. Mater. **324**, 923 (2012).
11. J. C. Fernandes, F. S. Sarrat, R. B. Guimaraes et al., Phys. Rev. B **67**, 104413 (2003).
12. J. Pardo, M. Martinez-Ripoll, and S. Garcia-Blanco, Acta Cryst. B **30**, 37 (1974).
13. R. E. Newnham, R. P. Santoro, P. F. Seal et al., Phys. Stat. Sol. **16**, K17 (1966).
14. H. Effenberger and F. Pertlik, Z. Kristallogr. **166**, 129 (1984).
15. S. V. Berger, Acta. Chem. Scand. **3**, 660 (1949).
16. О. С. Бондарева, М. А. Симонов, Н. Б. Белов, Кристаллография **23**, 487 (1978).
17. B. Tekin and H. Guler, Mater. Chem. Phys. **108**, 88 (2008).
18. H. Guler and B. Tekin, Inorg. Mater. **45**, 538 (2009).
19. H. Behm, Acta Cryst. B **38**, 2781 (1982).
20. Г. А. Петраковский, Л. Н. Безматерных, О. А. Баюков и др., ФТТ **41**, 677 (1999).
21. Zhangzhen He, Toru Kyomen, and Mitsuru Itoh, Phys. Rev. B **70**, 134431 (2004).
22. J. Schaefer and K. Bluhm, Z. Anorg. Allg. Chem. **620**, 1051 (1994).
23. Zhangzhen He, Toru Kyomen, Tomoyasu Taniyama et al., J. Sol. St. Chem. **179**, 3937 (2006).
24. M. Hase, A. Donni, V. Yu. Pomjakushin et al., Phys. Rev. B **80**, 104405 (2009).
25. R. E. Newnham, M. J. Redman, and R. P. Santor, Z. Kristallogr. **121**, 418 (1965).
26. M. Boehm, B. Roessli, J. Schefer et al., Phys. Rev. B **68**, 024405 (2003).
27. J. Bartolomé, A. Arauzo, N. V. Kazak et al., Phys. Rev. B **83**, 144426 (2011).
28. N. V. Kazak, N. B. Ivanova, O. A. Bayukov et al., J. Magn. Magn. Mater. **323**, 521 (2011).

29. Н. Б. Иванова, Н. В. Казак, Ю. В. Князев и др., ЖЭТФ **140**, 1160 (2011).
30. E. A. Stern, Phys. Rev. B **10**, 3027 (1974).
31. И. Б. Боровский, Р. В. Ведринский, В. Л. Крайzman и др., УФН **149**, 275 (1986).
32. P. Eisenberg and B. M. Kincaid, Chem. Phys. Lett. **36**, 134 (1975).
33. G. M. Sheldrick, Acta Cryst. A **64**, 112 (2008).
34. J. M. Tranguada and R. Ingalls, Phys. Rev. B **28**, 3520 (1983).
35. Д. И. Кочубей, Ю. А. Бабанов, К. И. Замараев и др., *Рентгеноспектральный метод исследования структуры аморфных тел: EXAFS-спектроскопия*, Наука, Новосибирск (1988).
36. M. Newville, J. Synchrotron Radiation **8**, 322 (2001).
37. S. I. Zabinski, J. J. Rehr, A. Ankudinov et al., Phys. Rev. B **52**, 2995 (1995).
38. F. de Groot, G. Vank'o, and P. Glatzel, J. Phys. Condens. Matter **21**, 104207 (2009).
39. L. N. Bezmaternykh, S. N. Sofronova, N. V. Volkov et al., Phys. Stat. Sol. B **249**, 1628 (2012).
40. P. W. Anderson, Phys. Rev. **115**, 1 (1959).
41. М. В. Еремин, ФТТ **24**, 423 (1982).
42. О. А. Баюков, А. Ф. Савицкий, ФТТ **36**, 1923 (1994).
43. С. В. Вонсовский, *Магнетизм*, Наука, Москва (1971).